

مروری بر توابع همبستگی آماری و بازسازی میکرو/نانوکامپوزیت‌ها

مصطفی‌مهدوی (دانشجوی کارشناسی ارشد)

انسیه یوسفی (دانشجوی کارشناسی ارشد)

مجید بنی‌آسدی* (استادیار)

دانشکده‌ی فنی‌هندسی مکانیک، دانشگاه تهران

تتابع آماری n نقطه‌بی^۱ برای محاسبه‌ی خواص سیستم‌های ناهمگن استفاده می‌شوند. قدرت و فایده‌ی مهم روش پیوسته‌ی آماری ارتباط مستقیم به اطلاعات آماری ریزساختار دارد. تتابع همبستگی دونقطه‌بی کمترین مرتبه از تتابع همبستگی اند که می‌توانند رابطه‌ی بین مورفولوژی و خواص ریزساختار را توصیف کنند. به صورت آزمایشگاهی تتابع همبستگی جفت آماری با استفاده از میکروسکوپ الکترون روشنی یا روش‌های پراکنده‌ی اشعه X زاویه کوچک به دست می‌آیند. تتابع همبستگی مرتبه بالاتر باید محاسبه یا اندازه‌گیری شوند تا دقت روش پیوسته‌ی آماری افزایش یابد. در این مطالعه ضمن انجام مروری جامع بر تتابع همبستگی آماری مورد کاربرد در ریزساختارها و نانوساختارها، بر بازسازی این ساختارها با استفاده از روش‌های آزمایشگاهی و عددی تمرکز شده است. توصیف و مشخصه‌سازی سیستم‌های ناهمگن نزد محققین دوره‌های گذشته اهمیت ویژه‌ی دارد و روش‌های مختلفی نیز برای دست‌یابی توصیف‌گرهای سه بعدی سیستم‌های ناهمگن توسعه یافته است.

mostafa.mahdavi70@gmail.com
nc.yosefi@ut.ac.ir
m.baniassadi@ut.ac.ir

واژگان کلیدی: تتابع همبستگی آماری، نانوکامپوزیت‌های پلیمری، بازسازی.

۱. مقدمه

تتابع همبستگی دونقطه‌بی، تتابع آماری ابتدایی مورد نیاز برای سنجیدن خواص مؤثر/همگن شده ریزساختارها و نانوساختارها هستند.^[۱-۵] روش‌های همگن‌سازی بر اساس مکانیک پیوسته‌ی آماری مانند راهکارهای اختلاف ضعیف یا اختلاف قوی^۵ قادرند خواص مؤثر را از تتابع همبستگی n نقطه‌بی محاسبه کنند.^[۱-۸,۲۰] مواد ناهمگن چندفازی با تغییر تاچیز خواص به طور نزدیکی قابل شیوه‌سازی با به کار بردن بسط‌های اختلاف ضعیف هستند.^[۱] در حالتی که اختلاف زیادی بین خواص فازها وجود دارد، روش اختلاف قوی گزینه‌ی مناسبی برای هدف‌های مشخصه‌سازی فیزیکی است.^[۱,۱۶,۲۰] در مطالعه‌ی که لیو و همکاراش^[۱۷] اخیراً انجام داده‌اند، با استفاده از عکس‌هایی از ساختار و نحوی قرارگیری ذرات درون پلیمر توانسته‌اند خواص نانوکامپوزیت را بررسی کنند. بازسازی ریزساختاری یا نانوساختاری نیز یکی دیگر از کاربردهای با ارزش تتابع همبستگی دونقطه‌بی (سوای مشخصه‌سازی فیزیکی) است. از مکانیک پیوسته‌ی آماری می‌توان برای فراهم کردن راه قوی پرتوگرافی اشعه X برای بازسازی مواد ناهمگن بهره برد.^[۱,۲۰-۲۱] بازسازی با استفاده از تتابع همبستگی دونقطه‌بی بسیار آسان‌تر و کم‌هزینه‌تر از بقیه روش‌های مورد استفاده، مانند پرتوگرافی اشعه X است که در کارهای جدید نیز مطالعاتی در خصوص استفاده از تتابع همبستگی برای لایه‌های مختلف یک نمونه انجام شده که با استفاده از اطلاعات آماری این عکس‌های دو بعدی نمونه‌ی سه بعدی بازسازی می‌شود.^[۱,۲۰]

مواد ناهمگن به طور گسترده‌بی در طیف وسیعی از مواد ترکیبی مانند کامپوزیت‌ها یا مواد طبیعی مانند بافت‌های زنده یافت می‌شوند. تتابع همبستگی آماری از بهترین توصیف‌گرهای ریزساختاری مواد ناهمگن هستند. مشخصه‌سازی خواص مکانیکی، گرمایی، الکتریکی و به‌طور کلی فیزیکی مواد ناهمگن را می‌توان مستقیماً از بعضی توصیف‌گرهای که شناخته شده‌تر از تتابع همبستگی n نقطه‌بی هستند، به دست آورد.^[۱,۲] تتابع همبستگی یک نقطه‌بی کم ترین مرتبه‌ی تتابع همبستگی آماری اند که فقط نسبت حجمی فازها را در ریزساختار توصیف می‌کنند ولی هیچ اطلاعاتی در مورد توزیع هندسی فازها ارائه نمی‌کنند.^[۱,۲] تتابع همبستگی دونقطه‌بی^۲ (TPCF) مرتبه‌ی بالاتر از تتابع همبستگی یک نقطه‌بی هستند که می‌توانند بخشی از ویژگی‌های هندسی ریزساختارها و نانوساختارها را شامل شوند. تتابع همبستگی دونقطه‌بی میکروسکوپ (SAXS) یا میکروسکوپ الکترون روشنی/انتقالی^۳ (SEM/TEM) از ریزساختارها و نانوساختارها به دست آورده‌اند.^[۳,۱۶] به طور خاص، روش SAXS در به دست آوردن اطلاعات توزیع اندازه و قرارگیری فضایی اجزا کاربرد دارد.^[۲,۳]

* نویسنده مسئول
تاریخ: دریافت ۱۰ اکتبر ۱۳۹۵، اصلاحیه ۱۲، ۱۳۹۵، پذیرش ۲۲ اکتبر ۱۳۹۶.

۲. مواد ناهمگن تصادفی

n نقطه از نقاط تصادفی که در نانوساختار یا ریزساختار پراکنده شده‌اند انتخاب می‌شود. زمانی که N به سمت بینهایت می‌رود نسبت تعداد نقاطی که در فاز η قرار می‌گیرند (N_η) به N , نشان‌گر نسبت حجمی آن فاز (v_η) است. برای ساختارهای چندفازی، روابط ریاضی بین توابع همبستگی یک نقطه‌یی و نسبت‌های حجمی مطابق رابطه‌ی ۳ بیان می‌شود:^[۲۵]

$$p_i = \frac{N_i}{N} |_{N \rightarrow \infty} = v_i \quad (3)$$

و آنگاه:

$$\sum P_i = 1 \quad (4)$$

۲.۳. تابع همبستگی دونقطه‌یی (TPCF)^۶

تابع احتمال دونقطه‌یی با انتخاب تعدادی از بردارهای تصادفی مانند \vec{r} با طول مشخص آن $r = r$ داخل نانوساختار یا ریزساختار و سپس مشخص کردن احتمال قرار گرفتن انتهای هریک، S_1 و S_2 , در فاز مشخص محاسبه می‌شود. بسته به مکان دو انتهای پاره خط, برای ساختار K فازی K احتمال وجود خواهد داشت:

$$P_{ij}(\vec{r}) = \frac{N_{ij}}{N} |_{N \rightarrow \infty} \{ \vec{r} = \vec{r}_1 - \vec{r}_2, (S_1 \epsilon \phi_i) \cap (S_2 \epsilon \phi_j) \} \quad (5)$$

که در آن N_{ij} تعداد بردارهایی است که از فاز η شروع می‌شوند (ϕ_i) و نقطه‌ی انتهای آنها در فاز η است (ϕ_j): $i, j = 1, 2, \dots, K$. همچنین \vec{r}_1 و \vec{r}_2 نمایش گر بردارهایی هستند که ناحیه‌ی زمینه‌ی مرجع به ترتیب S_1 و S_2 را متصل می‌کنند. ذکر این نکته ضروری است که طبق تعریف، TPCF هر ساختار ایزوتروپیک از جهت بردار قرار گرفته مستقل است.^[۲۵]

رابطه‌ی ۵ بیان‌گر تابع توزیع احتمال پیوسته برای حالت‌هایی است که دو نقطه ساخته می‌شوند: S_1 و S_2 به عنوان دو انتهای بردار دلخواه \vec{r} هستند زمانی که به طور تصادفی N بار در ساختار قرار می‌گیرند. با جایگذاری این رابطه در فرم تابع احتمال شرطی خواهیم داشت:^[۶]

$$P_{ij}(\vec{r}) = P\{(S_1 \epsilon \phi_i) | (S_2 \epsilon \phi_j)\} P(S_2 \epsilon \phi_j) \quad (6)$$

برای طول بردار خیلی بزرگ, $\infty \rightarrow r$, احتمال وقوع S_1 بر S_2 تأثیر نمی‌گذارد. به عبارت دیگر، وقتی $\infty \rightarrow r$ تابع احتمال شرطی به تابع همبستگی یک نقطه‌یی کاهش می‌باید، یعنی:

$$\lim_{r \rightarrow \infty} P\{(S_1 \epsilon \phi_i) | (S_2 \epsilon \phi_j)\} = P(S_1 \epsilon \phi_i) \quad (7)$$

در نتیجه، با بازنویسی رابطه‌ی ۶:

$$\lim_{r \rightarrow \infty} P_{ij}(\vec{r}) = P(S_1 \epsilon \phi_i) | (S_2 \epsilon \phi_j) = v_i v_j \quad (8)$$

تعمیم استدلال بالا برای تابع n نقطه‌یی انجام شده است.^[۲۵] از مطالعه عنوان شده در این بخش می‌توان نتیجه گرفت که TPCF‌های هر ساختار k فازی به هم وابسته‌اند. برای مثال، در کامپوزیت سه‌فازی 9 عدد TPCF مشکل از تعامل روابط زیر فوراً ارضاء می‌شود:^[۲۵]

$$\sum_{j=1,2} P_{ij}(\vec{r}) = v_i \quad (9)$$

$$\sum_{i=1,2} \sum_{j=1,2} P_{ij}(\vec{r}) = 1 \quad (10)$$

ماده‌ی ناهمگن تصادفی دسته‌یی از مواد مختلف با حالت‌های مختلف تشکیل شده است مانند کامپوزیت‌ها یا پلی‌کریستال‌ها. مقیاس طول میکروسکوپی بسیار بزرگ‌تر از مقیاس مولکولی اما بسیار کوچک‌تر از طول مشخصه‌ی نمونه‌ی میکروسکوپی است. ماده‌ی ناهمگن را می‌توان در مقیاس میکروسکوپی پیوسته فرض کرد و در نتیجه خواص مؤثرش را محاسبه کرد.^[۱] روش‌های آماری با استفاده از توابع همبستگی یکی از بهترین راه‌های عملی و قدرتمند برای تخمین خواص مواد ناهمگن هستند.^[۱] خواص مواد را می‌توان با استفاده از مرتبه‌های مختلف توابع همبستگی آماری پیش‌بینی کرد.^[۲۴, ۲۳, ۱۱] در مواد چندفازی مرتبه اول تابع همبستگی نشان‌گر نسبت حجمی فازهای مختلف است و اطلاعات دیگری درباره توزیع و مورفلوژی فازها نمی‌دهد.^[۱] در ادامه موضوع تابع همبستگی آماری به تفصیل بررسی می‌شود.

۳. تابع همبستگی آماری

در ساختارهای دوفازی (ساختارهایی همانند ناولوله‌ی کربنی در پلیمر خالص که دو فاز کاملاً قابل تشخیص باشند) که هر فاز ناحیه‌یی از حجم را اشغال کرده است، فاز 1 با ناحیه‌ی (ω) , v_1 با نسبت حجمی Φ_1 و فاز 2 با ناحیه‌ی (ω) , v_2 و با نسبت حجمی Φ_2 را در نظر بگیرید. با توجه به این دو ناحیه مکمل یکدیگرند خواهیم داشت: $1 = (\omega) \cup v_1 + \Phi_2 (\omega) \cap v_2$.

در شکل ۱ نمونه‌یی دو بعدی دوفازی نشان داده شده است. در اینجا با معرفی تابع نشان‌گر $I^{(i)}(x; \omega)$ که برای فاز η برای $x \in v$ در ω چنین تعریف می‌شود: ω اتفاق قرار گرفتن در هرکدام از فازهای یک نمونه‌ی چندفازی است.^[۲۵]

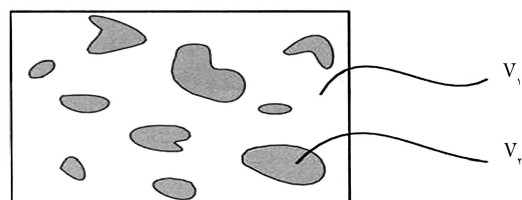
$$I^{(i)}(x; \omega) = \begin{cases} 1 & x \in v \\ 0 & \text{در غیر این صورت} \end{cases} \quad (11)$$

برای یک ساختار دوفازی $(i = 1, 2)$, این تابع در جاهایی که در فاز اول قرار می‌گیرد $= 1$ و $I^{(i)}(x, \omega) = 0$ و به عکس، وقتی در فاز دوم قرار می‌گیرد $= 0$ و $I^{(i)}(x, \omega) = 1$. در نتیجه همواره برای این ساختار داریم:

$$I^{(1)}(x; \omega) + I^{(2)}(x; \omega) = 1 \quad (2)$$

۱.۱. تابع همبستگی یک نقطه‌یی

برای اندازه‌گیری تابع همبستگی یک نقطه‌یی ریزساختارها یا نانوساختارها، تعداد



شکل ۱. تصویر دو بعدی دوفازی: فاز ۱) فاز سفیدرنگ با ناحیه‌ی v_1 ; فاز ۲) فاز خاکستری رنگ با ناحیه‌ی v_2 .^[۲۵]

در نمونه‌ی دوم که دیسک‌ها هم پوشانی دارند و به هم پیوسته‌اند دقیقاً از $r = D$ به بعد (D شعاع دیسک‌هاست) کاملاً خطی صاف را مشاهده می‌کنیم و نوسانی نیست؛ این امر بیان‌گر آن است که تعداد قابل چشمگیری از ناحیه‌های فاز دوم بزرگ‌تر از D هستند.^[۲۵]

۳.۳. تابع همبستگی n نقطه‌یی
برای x با اندازه‌ی ثابت، تابع نشان‌گر $(x; \omega)$ $I^{(i)}$ فقط دو مقدار ممکن دارد، به عنوان مثال برای بعضی مقادیر ω مقدار تابع نشان‌گر صفر و برای بعضی دیگر از مقادیر ω مقدار تابع نشان‌گر ۱ است. توصیفی احتمالی از $(x; \omega)$ به سادگی برای این که $I^{(i)}(x; \omega)$ معادل ۱ باشد به دست می‌آید:

$$P\{I^{(i)}(x; \omega) = 1\} \quad (11)$$

و بدین ترتیب احتمال به دست می‌آید:

$$P\{I^{(i)}(x; \omega) = 0\} = 1 - P\{I^{(i)}(x; \omega) = 1\} \quad (12)$$

متغیر تصادفی کیسته‌ی X را می‌توان به طور معادل با تابع توزیع متراکم $F(x)$ آن مشخص کرد:

$$F(x) = P\{X \leq x\} \quad (13)$$

ویژگی‌هایی از قبیل غیرکاهشی بودن، تابعی پیوسته راست از x است که $F(-\infty) = 0$ و $F(+\infty) = 1$. این نکته را نیز باید ذکر کرد که مقدار پیش‌بینی با میانگین هر تابعی از $f[I^{(i)}(x; \omega)]$ را می‌توان چنین بیان کرد:

$$f[I^{(i)}(x; \omega)] = P\{I^{(i)}(x; \omega) = 1\}f(1) + P\{I^{(i)}(x; \omega) = 0\}f(0) \quad (14)$$

که براکت‌های شکسته به معنی مجموع میانگین‌های است. در عمل، $f[I^{(i)}(x; \omega)]$ بیان می‌دارد که:

$$S_1^{(i)}(x) = I^{(i)}(x) = P\{I^{(i)}(x) = 1\} \quad (15)$$

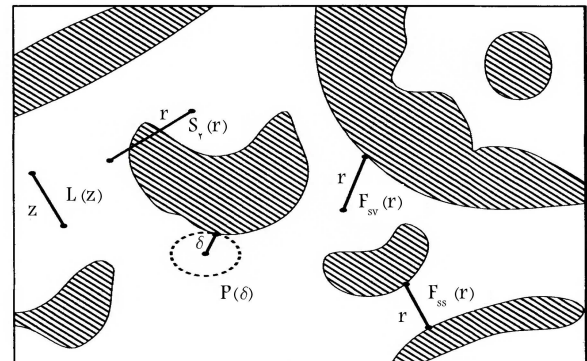
بنابراین، طبق ماهیت ۰ و ۱ تابع نشان‌گر $I^{(i)}(x)$ ، عملکرد آن دقیقاً شبیه تابع احتمال $P\{I^{(i)}(x) = 1\}$ است. تورگات و استل^۷ (۱۹۸۲)، در ادامه به $S_1^{(i)}(x)$ به عنوان تابع احتمال یک نقطه‌یی برای فاز ارجاع دادند، که این کار یافتن فاز α در مکان x را ممکن می‌سازد، و همچنین گاهی به عنوان تابع همبستگی یک نقطه‌یی به تابع نشان‌گر فاز ارجاع داده می‌شود.

دانستن مفهوم (ω) v_i شبیه دانستن $I^{(i)}(x)$ برای همه x در v است، بنابراین ممکن است از دسته‌ی تصادفی از (ω) به جای همه متغيرهای v_i برای $x \in v$ استفاده شود. در نتیجه قانون احتمال برای (ω) v_i با توزیع فربیندهای تصادفی $I^{(i)}(x)$ که دارای بعدی محدود است توصیف می‌شود. به عبارت دیگر توصیف احتمالی از (ω) v_i با توزیع اتصالی از $I^{(i)}(x_1)I^{(i)}(x_2)\dots I^{(i)}(x_n)$ به ازای $n \geq 1$ که متغیری عدد صحیح است و روی x_1, x_2, \dots, x_n تغییر می‌کند، چون مقدار $I^{(i)}(x)$ برابر صفر یا ۱ است، مشخص کردن احتمالات را فراهم می‌کند:

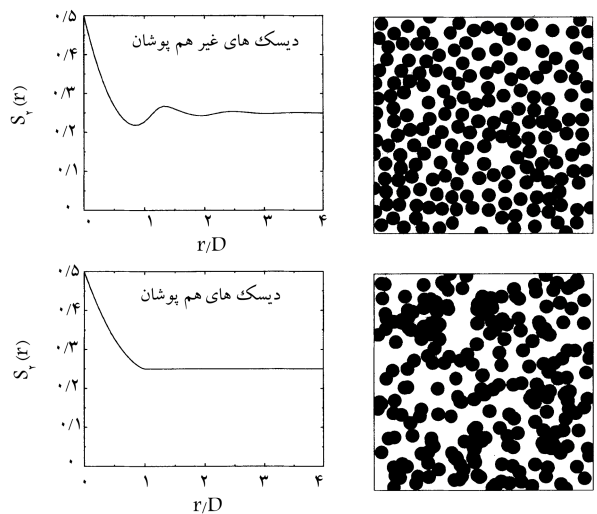
$$P\{I^{(i)}(x_1) = j_1, I^{(i)}(x_2) = j_2, \dots, I^{(i)}(x_n) = j_n\} \quad (16)$$

برای T های متقارن، $P_{ij} = P_{ij}$ تنها سه $TPCF$ مستقل برای مثال ساختار سه فازی بالا باقی می‌ماند. در حالت کلی، برای ساختار k فازی وقتی که $3 \geq K \geq 1$ ، $TPCF$ مستقل باقی می‌ماند. پر واضح است که وقتی $0 \rightarrow$ آن‌گاه P_{ii} تابع همبستگی یک نقطه‌یی حاصل می‌شود: v_i

تابع دو نقطه‌یی یک نقطه پاره خط با طول $|r|$ در راستای خاص و محاسبه‌ی تعداد دفعاتی که نقاط انتهای خط درون فاز ۱ قرار می‌گیرد، محاسبه کرد (شکل ۲). در ساختارهای ایزوتropیک، بیشینه‌ی $S_2(r)$ به $r = 0$ در Φ_1 می‌رسد و سرانجام با ادامه‌ی افزایش طول پاره خط به صورت نمایی به مقدار Φ_1 می‌رسد. شکل ۳ شامل اطلاعاتی $(S_r(r))$ در مورد ویژگی‌های ناخالصی‌ها یا ذرات درون ساختار است؛ برای مثال دو نمونه از تابع همبستگی برای سیستم ذره‌ی ایزوتropیک و شکل ساختاری دراین شکل آورده شده است. در نمونه‌ی اول که دیسک‌های درون ساختار هم پوشانی ندارند و جدا از هم هستند $(S_2(r))$ برای r های کوچک نوسانی است اما



شکل ۲. شماتیک تابع مرتبه پایین برای ساختار تصادفی یک ساختار دلخواه، که تابع احتمال دو نقطه‌یی (r) $S_2(r) = S_2^{(1)}$ برای فاز ۱ (ناحیه‌ی سفیدرنگ) محاسبه می‌شود.^[۲۵]



شکل ۳. تابع احتمال دو نقطه‌یی (r) برای فاز ۱ (ناحیه‌ی سیاهرنگ) برای دو سیستم مختلف در $\Phi_1 = 1/2$ ، برای سیستم دیسک‌های غیرهم پوشان (نمونه بالا) و سیستم با دیسک‌های هم پوشانی شده (نمونه پایین) در اینجا D قطر دیسک است.^[۲۵]

تواع آماری از دو ترم اندازه و جهت تشکیل می‌شوند. اگر فقط یک جهت ملاحظه شود، حتی اگر ساختار آزمایشی تصادفی باشد، ممکن است غیرابزوتوبی ساختگی باشد. برای حل این مشکل، شیهان^۹ و تورگاتو جهت‌های بیشتری در تواع آماری معرفی کردند که به طور مؤثری غیرابزوتوبی‌های ساختگی را حذف می‌کرد. همه‌ی اطلاعات ورودی از عکس‌های دو بعدی به دست می‌آید. تورگاتو یک روش جدید برای بازسازی اشکال سه‌بعدی تصادفی با استفاده از اطلاعات قطعات دو بعدی توسعه داد. روش بازسازی تصادفی هیبرید برای بهینه‌سازی راه خطی تابع و تواع همبستگی دو بعدی در طول روش جوانزنی توسعه یافته. همچنین شبیه‌سازی سه‌بعدی ساختار از ورقه‌های دو بعدی توسط پی‌بی^{۱۰} و همکاراش طالعه شد.^[۲۰] اطلاعات آماری روی شکل‌شناسی و توزیع جهت کریستال از آنالیزهای پراش پراکنده‌ی الکترون به دست می‌آید. از این اطلاعات دو بعدی آزمایشگاهی به عنوان ورودی برای تولید ساختار سه‌بعدی پلی‌کریستال استفاده می‌شود، که شکل مرزهای دانه و غیرابزوتوبی شکل دانه را لحاظ می‌کند.

برای بهبود شبیه‌سازی، روش‌های بهینه‌سازی مختلف نیز اعمال و مقایسه شده که در بین آنها روش تصادفی رواج و کاربرد بیشتر داشته است. علاوه بر کارهای تورگاتو، محققین دیگر نیز در کارهایی نظری بازسازی ساختار آند سلول سوختی توسط سوزو،^{۱۱} شیکانو^{۱۲} و کاساگی^{۱۳} از این روش استفاده کرده‌اند. یک کار بازسازی جذاب دیگر توسط فولوود^{۱۴} و همکارانش انجام شده است.^[۲۱] در نمونه‌های زیادی تواع دونقطه‌ی روی توابع تحلیلی به درستی قرار می‌گیرند. برای دقت بیشتر در نمایش توابع دونقطه‌ی، فولوود از انتقال فوریه‌ی سریع برای گسترش این توابع استفاده کرد.

عموماً در تحقیق‌های قبلي در زمینه‌ی بازسازی ساختار، از شبیه‌سازی ساختار با استفاده از اطلاعات آماری استفاده می‌شود. بیشتر تحقیق‌های انجام شده در زمینه‌ی ساختار تصادفی بود تا زمانی که توابع همبستگی کامل در جهت‌های مختلف یکی نمی‌شدند. در بیشتر نمونه‌ها فقط یک تابع با جهت خاص که با راستی تصادفی نمایش داده می‌شد، کاربرد داشت. همچنین طیف گستردگی از خواص مؤثر پیش‌بینی شده حتی برای ساختارهایی که از توابع همبستگی یکسانی بازسازی شده بودند، توضیح داده شده است. علاوه بر این، بیشتر کار به دو بعد محدود می‌شد، و قابل گسترش به سه بعد نبود. ریزساختارها و رفتار شبیه‌سازی شده در دو بعد با آنها که سه‌بعدی بودند تفاوت بسیاری خواهد داشت. دلیل دیگر برای ناپایداری ساختار بازسازی شده از تعداد کمی از ویژگی‌ها در شکل‌های شبیه‌سازی شده می‌آید. شبیه‌سازی رفتار با استفاده از روش‌های جبری نیازمند شکل‌های زیاد با تعداد زیادی المان‌های نمایش‌گر حجم است.

بازسازی عددی و تجربی مواد ناهمگن برای به دست آوردن ساختاری دقیق می‌تواند برای مشخصه‌سازی و بهینه‌سازی مواد ناهمگن مورد استفاده قرار گیرد. روش‌های آزمایشی زیادی مانند پرتوگرافی اشعه‌ی X^{۱۵} یا پرتویون متکریزیکروسکوب الکترونی روبشی^{۱۶} (SEM/FIB) وجود دارند که می‌توان از آن برای بازسازی ریزساختارهای سه‌بعدی استفاده کرد. برای بازسازی های عددی، اطلاعات آماری از ریزساختارهای ماده‌ی ناهمگن به دست می‌آید و می‌تواند ریزساختارهای سه‌بعدی را بسازد.^[۲۷-۳۰]

۱.۴. پرتونگاری رایانه‌یی اشعه‌ی X^{۱۶}

پرتونگاری رایانه‌یی اشعه‌ی X یک روش غیرمخرب است که می‌تواند برای بازسازی مواد ناهمگن در مقیاس میکرومتریک باشند. کامپوزیت‌های پایه فلزی مورد استفاده قرار گیرد.

که در آن مقدار هرکدام از j_k ها برابر صفر یا ۱ است. پیش‌بینی حاصل $I^{(i)}(x_1)I^{(i)}(x_2)\dots I^{(i)}(x_n)$ یک میانگین مهم است. در ادامه:

$$\begin{aligned} S_n^{(i)}(x_1, x_2, \dots, x_n) &= \langle I^{(i)}(x_1)I^{(i)}(x_2)\dots I^{(i)}(x_n) \rangle \\ &= P\{I^{(i)}(x_1) = 1, I^{(i)}(x_2) = 1, \dots, I^{(i)}(x_n) = 1\} \end{aligned} \quad (17)$$

= احتمال اینکه n نقطه در مکان‌های x_1, x_2, \dots, x_n در فاز i باشند. عنوان تابع احتمال n نقطه‌یی برای ارجاع داده می‌شود؛ همچنین می‌تواند به عنوان تابع همبستگی n نقطه‌یی هم ارجاع داده شود.^[۲۵]

۴. بازسازی

هدف بازسازی ساختاری، ایجاد ساختار شبیه‌سازی شده برای نمایش آماری ساختار با استفاده از گروهی از توصیف‌گرهای ساختاری است. در زمینه‌های دیگر نیز، برای ساختن یک ساختار سه‌بعدی واقعی از دسته‌یی از عکس‌های دو بعدی حاصل از آزمایش استفاده می‌شود، مانند آزمایش‌های پرتویون متکریز.

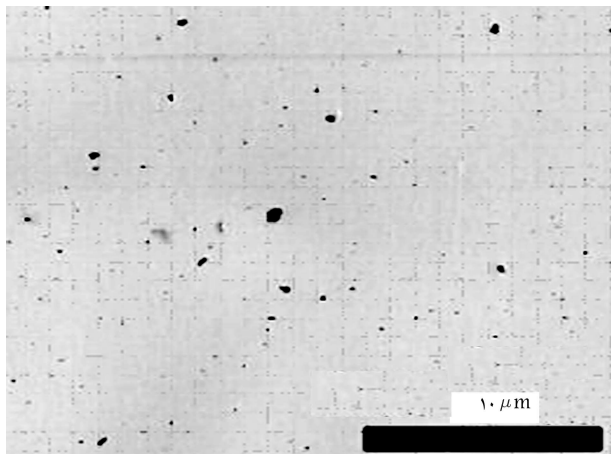
اهمیت روش‌های بازسازی ساختار درده‌های اخیر به طور چشمگیری با توسعه‌ی طراحی مواد گوناگون افزایش یافته است. راه حل‌های ریاضی برای ساختارهایی با خواص معین نیازمند نمایشی مناسب از ساختار با استفاده از گروهی از المان‌های قرار گرفته درون ساختار است. در کامپوزیت ناولوله‌ی کربنی توصیف‌گرهایی که می‌توانند ساختار را به خوبی نمایش دهند شامل نسبت حجمی ناولوله‌ها، طول ناولوله‌ها، نسبت طول به قطر ناولوله‌ها، انحنای ناولوله‌ها و نحوه‌ی توزیع ناولوله‌ها درون ساختار است. این توصیف‌گرهای ممکن است در سلسه ترتیب‌های توابع آماری همبستگی، یا توابع آماری چند نقطه‌یی ذخیره شوند. در نهایت ساختار با توصیف‌گرهای مواد که از ویژگی‌های گفته شده استفاده می‌شود نمایش داده می‌شود.

یک انگیزه‌ی دیگر برای بازسازی ساختار، اجرای شبیه‌سازی‌هایی است که برای به دست آوردن خواص ضروری است.^[۲۶-۲۹] از توصیف‌گرهایی همانند توابع آماری چند نقطه‌یی، خواص مکانیکی، مغناطیسی، الکتریکی و گرمایی ممکن است مستقیماً شبیه‌سازی انجام شود. نکته‌ی دیگر در بازسازی ساختار توصیف‌گرهای با استفاده از روش اجزای محدود آن است که خواص مؤثر ممکن است شبیه‌سازی شود. از این روش ممکن است برای تأیید ساختارهای شبیه‌سازی شده استفاده شود که نقش اصلی در طراحی مواد دارد.

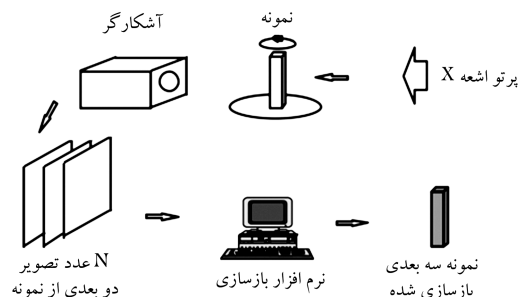
بازسازی با تعداد بسیار زیادی از روش‌های شبیه‌سازی دنبال شده است، بیشتر آن‌ها از اطلاعات آماری برپایه‌ی تابع یک نقطه‌یی، همانند اندازه دانه، نسبت حجمی، شکل ایده‌آل، ساختار تصادفی و موارد دیگر استفاده کرده‌اند.

اطلاعات مشخصه‌های غیرابزوتوبی، توزیع جهت‌ها، شکل و هندسه ملاحظه نشده است، اگرچه این ویژگی‌ها ممکن است در توابع آماری مشکلاتی را نیز معرفی می‌کنند. شبیه‌سازی از توابع آماری مهم است اما همزمان مشکلاتی را نیز معرفی می‌کند.

تورگاتو^{۱۸} مطالعه‌ی بازسازی ساختارها را با استفاده از توابع آماری شروع کرد. ساختارهای ناهمگن تصادفی از توابع آماری مرتبه‌پایین با بهینه‌سازی تصادفی بازسازی شدند. چندین مثال از ساختارهای یک بعدی و دو بعدی نشان داده شد که ریاضی دقیق از الگوریتم بازسازی بیان شده است. تورگاتو همچنین نشان داد که توابع دونقطه‌یی به تنها یعنی نمی‌توانند نشان‌گر ماده دوفازی ناهمگن باشند. ولذا جواب‌های بازسازی، اگر شرایط اولیه فقط توابع آماری مرتبه پایین باشند، یکسان نخواهد بود.



شکل ۵. نمونه‌یی از عکس SEM از یک نانوکامپوزیت با ذرات کربنی.^[۲۳]



شکل ۴. اصول پرتونگاری اشعه X.

در این روش، پرتوهای اشعه X به نمونه چرخان برخورد کرده و تصاویر دو بعدی با استفاده از یک آشکارگر در طرف دیگر نمونه ثبت می‌شوند (شکل ۴).^[۲۷, ۳۶] در پرتونگاری کلاسیک (پرتونگاری میرایی) بازسازی سه بعدی با ترکیب تصاویر دو بعدی انجام می‌شود. این روش دارای برخی محدودیت‌هاست:^[۲۶]

-- دقت تصویر به محدوده‌ی ۱۰۰۰ تا ۲۰۰۰ برابر قطر مقطع عرضی محدود است؛

-- مرزهای مواد مات است؛

-- حجم اطلاعات زیاد است و به تصویر کشیدن و تفسیر کردن آن سخت است.

اگرچه این روش دارای نقاط قوتی نیز هاست:^[۲۶]

-- عکس برداشی غیرمخرب سه بعدی

-- آماده‌سازی آسان نمونه

۲.۴. میکروسکوپ الکترونی متتمرکز (SEM)

در این میکروسکوپ‌ها ابتدا باید یک ستون الکترون ایجاد شود که برای این کار از تقنیک‌های الکترونی استفاده می‌شود. هرچه تعداد این الکترون‌ها بیشتر و در عین حال قطر این ستون کم‌تر باشد، مطلوب‌تر خواهد بود. هم‌سرعت بودن این الکترون‌ها نیز از دیگر خصوصیات مثبت آنها تلقی می‌شود.^[۲۸] پس از تولید این ستون از الکترون‌ها، بر حسب شرایط مورد نظر کاربر با ایجاد یک میدان الکتریکی به آنها شتاب داده می‌شود و به کمک چندین لنز الکترومغناطیسی شاعع آن را تا حد مطلوب کوچک می‌کنند. در این راه از روزنه‌های تعییه شده در مسیر عبور الکترون‌ها نیز استفاده می‌شود. پس از این که الکترون‌ها به سرعت مورد نظر دست یافته‌ند و شاعع ستون نیز تنظیم شد، این ستون از الکترون‌ها تحت کنترل کامل با نقطه‌ای خاصی از جسم برخورد می‌کنند. نتیجه‌ی اندرکنش آنها با نمونه توسعه حسگرهای خاص ثبت می‌شود. البته واضح است که برای ثبت هر اندرکنش حسگر خاصی نیز لازم است. پس از ثبت این آثار، ستون الکترون به نقطه‌ی مجاور نقطه‌ی فعلی هدایت شده و آثار اندرکنش این نقطه نیز ثبت می‌شود و این کار برای یک شبکه‌ی دو بعدی روی سطح جسم و به ازای تک‌تک نقاط (و البته با سرعت بسیار بالا) صورت می‌پذیرد. از نمایش نتایج حاصل روی یک نمایشگر تصویری شکل می‌گیرد که همانند تصویر تلویزیون همواره در حال جاروب کردن صفحه‌ی نمایشگر است به این ترتیب و بسته به اندرکنشی که خواص آن ثبت شده، تصویری حاصل می‌شود که می‌تواند خصوصیات مورفولوژی یا ترکیب نمونه در لایه‌های سطحی آن را بیان کند.^[۲۹] نمونه‌یی از این عکس‌برداری در شکل ۵ نشان داده شده است؛ چنان‌که ملاحظه می‌شود می‌توان از این عکس‌ها پراکنده‌ی ناهمگنی‌ها و دیگر ویژگی‌های ساختار را مشاهده کرد.

که اجازه می‌دهد (h) I را مطابق رابطه‌ی ۲۴ بازنویسی کنیم:

$$I(\vec{h}) = \iiint \tilde{\rho}^*(r) e^{-i\vec{h} \cdot \vec{r}} dV \quad (24)$$

قابل ذکر است که توزیع شدت در h , به طور منحصر به فرد با ساختار میدان چگالی به دست می‌آید. با ملاحظه‌ی اینزتروپی آماری، دبای ۲۱^[۲۸] ثابت کرد:

$$\langle e^{-i\vec{h} \cdot \vec{r}} \rangle = \frac{\sin(hr)}{hr} \quad (25)$$

در نتیجه، شدت پراکندگی میانگین عبارت خواهد بود از:

$$I(h) = \int 4\pi r^2 \tilde{\rho}^*(r) \frac{\sin(hr)}{hr} dr \quad (26)$$

با استفاده از تابع خودهمبستگی، γ , معادله‌ی ۲۶ را می‌توان چنین بازنویسی کرد:

$$I(h) = V n^* \int 4\pi r^2 \gamma(r) \frac{\sin(hr)}{hr} dr \quad (27)$$

که در آن n^* چگالی میانگین الکترون‌هاست، یا:

$$\gamma(r) = \frac{1}{2\pi^2 V n^*} \int_0^\infty I(h) \frac{\sin(hr)}{hr} h^2 dh \quad (28)$$

این جا n^* یک مقدار ثابت است. با استفاده از معادله‌ی ۲۱، می‌توان معادله‌ی ۲۸ را بازنویسی کرد:

$$\begin{aligned} \gamma(r) &= P_{\vec{r}}^{11}(r) - \phi^* \\ &= \frac{1}{2\pi^2 V n^*} \int_0^\infty I(h) \frac{\sin(hr)}{hr} h^2 dh \end{aligned} \quad (29)$$

و $(P_{\vec{r}}^{11})^*$ تابع همبستگی احتمال دونقطه‌ی را نشان می‌دهد که توزیع فضایی ذرات فاز ۱ را نشان می‌دهد. $(P_{\vec{r}}^{11})^*(r)$ باید در شرایط زیر صدق کند.

$$P_{\vec{r}}^{11}(r) = \phi^* \quad \text{when } r = 0$$

$$P_{\vec{r}}^{11}(r) = (\phi^*)^* \quad \text{when } r \rightarrow \infty \quad (30)$$

شرط دوم در معادله‌ی ۳۰، شخص درجه‌ی همگنی توزیع ذرات در زمینه است (برای مثال، اگر شرط دوم برقرار نباشد، توزیع ذرات در زمینه همگن نیست).

با استفاده از معادلات ۱۸ تا ۳۰ می‌توان از تابع آزمایشات اشعه‌ی X برای به دست آوردن تابع همبستگی دونقطه‌ی استفاده کرد که در بازاری میکرو/نانوساختارها بسیار حائز اهمیت است.

۶. بازسازی با استفاده از توصیف‌گرهای آماری

بازسازی تصادفی مواد ناهمگن با استفاده از اطلاعات ریزساختاری محدود (تابع همبستگی) یکی از مسائل معکوس جذاب در مهندسی است. روش‌های بازسازی مختلفی برای امکان استفاده از تابع همبستگی مرتبه پایین توسعه یافته است. در ادامه، یکی از مشهورترین روش‌های بازسازی که با روش بهینه‌سازی بازپخت ۲۲ توسعه یافته است مورد بحث قرار می‌گیرد. با استفاده از گروهی از تابع همبستگی می‌توان قسمتی از اطلاعات مواد ناهمگن تصادفی را به دست آورد، این اطلاعات می‌تواند

ولی وضوح تصویر پایین است. به عنوان جایگزینی برای این روش، حالت پراکندگی ناوزرات در نازکامپوزیت‌های پایه‌ی پلیمر می‌تواند با اندازه‌گیری پراکندگی اشعه‌ی x راویه‌کوچک (SAXS) مشخصه‌سازی شود.^[۲۶] SAXS یک روش آسان و سریع است که به حجمی به ابعاد چند میلی متر مکعب (آمار بالا) بدون از دست دادن وضوح اعمال می‌شود. سیگنال پراکندگی به دست آمده از ناوزرات، اندازه‌ی توزیع و شکل ناوزرات (از فاکتور) و موقعیت آن‌ها نسبت به یکدیگر (فاکتور ساختار) را نشان می‌دهد. از سیگنال SAXS می‌توان متعاقباً برای محاسبه‌ی توابع همبستگی دونقطه‌ی با دقت بالا - چون نمایش بسیار دقیقی از مورفولوژی ماده تولید می‌کند بهره‌برداری کرد.^[۲۷]

۵. ارتباط بین داده‌های SAXS و توابع همبستگی

دونقطه‌ی

تکنیک پراکندگی اشعه‌ی x راویه‌کوچک متکی به چگالی پراکنده شده از ذرات ناهمگن است که اندازه‌ی آن‌ها، بسته به شکل تجهیزات، معمولاً بین ۱۰۰۰ تا ۱۰۰ ناومتر قرار دارد.^[۵۱-۵۲] چگالی پراکنده شده بسنگی به اختلاف بین چگالی الکترونی محلی ρ از ناهمگنی‌های پراکنده شده و اطرافش دارد، که می‌تواند با چگالی میانگین $\bar{\rho}$ نشان داده شود. تغییر محلی η برای چگالی الکترون را می‌توان چنین تعریف کرد:

$$\eta = \rho - \bar{\rho} \quad (18)$$

با فرض سیستم ایزوتروپیک آماری با مرتبه‌ی نه چندان وسیع، تابع همبستگی را که دامنه‌ی نوسان‌های چگالی را ملاحظه می‌کند، می‌توان چنین تعریف کرد:

$$\gamma(r)\langle\eta^*\rangle = \langle\eta_A \eta_B\rangle \quad (19)$$

که در آن A و B دو نقطه‌ی جدا درون سیستم‌اند که با بردارهای r_1 و r_2 $r = r_2 - r_1$ نمایش داده می‌شوند و $\gamma(r)$ تابع خودهمبستگی یا تابع مشخصه‌ی واپسی به موقعیت r است:

$$\gamma(r) = \langle\eta(r_1)\eta(r_2)\rangle \quad (20)$$

از توزیع تصادفی ناهمگنی‌ها، تابع خودهمبستگی $\gamma(r)$ شرایط $\eta = \eta(r = 0) \rightarrow \infty$ و $\gamma(r = 0) = \gamma(r \rightarrow \infty)$ را ارضاء می‌کند. تعریف کوواریانس^{۲۰} فاز ۱ برای سیستم همگن آماری عبارت است از:^[۱۱]

$$\gamma(r) = \langle\eta(r_1)\eta(r_2)\rangle = P_{\vec{r}}^{11}(r) - \phi^* \quad (21)$$

که در آن ϕ نسبت حجمی فاز ۱ (پرکنده‌ها) و $P_{\vec{r}}^{11}$ تابع احتمال دونقطه‌ی است. همچنین $\rho(r)$ تعداد الکترون‌ها در حجم واحد است؛ المان حجم dV در موقعیت r شامل $\rho(r) \times dV$ است. شدت پراکندگی اشعه‌ی x , I , به عنوان تابعی از بردار پراکندگی \vec{h} روی کل حجم V با انتگرال فوریه دست می‌آید:^[۵۴]

$$I(\vec{h}) = \iiint \iiint \rho(r_1)\rho(r_2)e^{-i\vec{h} \cdot \vec{r}} dV_1 dV_2 \quad (22)$$

با جمع کردن همه‌ی جفت‌ها با فاصله‌ی نسبی بکسان، سپس انتگرال‌گیری روی همه‌ی فاصله‌های نسبی، به نظر می‌رسد مسیر منطقی باشد. تابع خودهمبستگی را می‌توان چنین تعریف کرد:

$$\tilde{\rho}^*(r) = \iiint \rho(r_1)\rho(r_2)dV_1 \quad (23)$$

$$P(\text{Error}_{\text{old}} \rightarrow \text{Error}_{\text{new}})$$

$$\begin{cases} 1 & \frac{\Delta \text{Error}}{T} < 0 \\ e^{-\frac{\Delta \text{Error}}{T}} & \frac{\Delta \text{Error}}{T} \geq 0 \end{cases} \quad (۳۱)$$

از آنجاکه T براساس مرحله‌ی راه حل بازپخت تعیین می‌شود. این پرسه تا همگرایی توابع همبستگی مورد نظر تکرار می‌شود.

۷. بازسازی سه‌بعدی با استفاده از پرتو یون متمرکز -

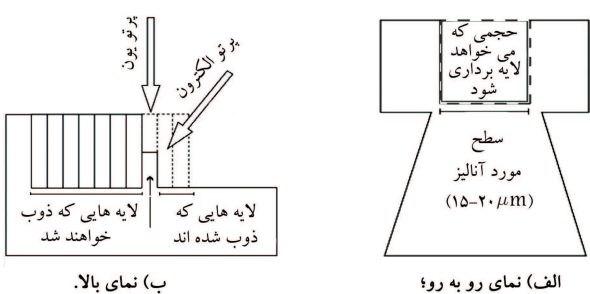
میکروسکوپ الکترونی روبشی

شیدایی و همکارانش^[۵۶] با استفاده از پرش زنی و عکس‌برداری همزمان از نانوکامپوزیت و با استفاده دو ستون پرتو یون متمرکز شده - میکروسکوپ الکترون روبشی از نمونه‌ی مورد نظر عکس‌هایی دو بعدی تهیه کردند. برای شروع یک ذوزنقه از کامپوزیت ذوب می‌شود؛ طرف ذوزنقه در حالتی قرار می‌گیرد که توسط پرتو الکترون عکس‌برداری شود. در شکل ۶ الف چگونگی لایه‌برداری و عکس‌برداری همزمان و در قسمت ب نمایی از نحوه‌ی ادامه کار برای عکس‌برداری از لایه‌های مختلف نشان داده شده

۸. نتیجه‌گیری

در این نوشتار مواد ناهمگن و کاربرد وسیع آن در صنعت مورد بحث قرار گرفت.. نکته‌ی مهمی که در مقدمه و قسمت‌های اول تا سوم این مقاله مورد بحث قرار گرفت، نحوه‌ی استخراج اطلاعات آماری از یک ماده‌ی ناهمگن بود. همه‌ی محققان در نهایت به دنبال راهی برای ارتباط ساختار مواد ناهمگن و خواص آن ماده هستند که توابع همبستگی راهی قدرتمند و جامع برای استخراج اطلاعات آماری این مواد هستند.

همچنین انواع توابع همبستگی یک نقطه‌یی، دو نقطه‌یی و n نقطه‌یی مورد بحث قرار گرفت و برای هر کدام شکل کاربردی آن رسم شد. در ادامه راه‌های رسیدن از



الف) نمای رو به رو؛

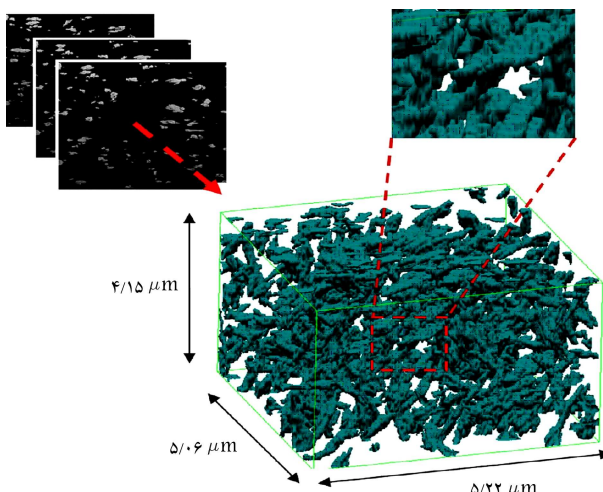
شکل ۸. نمایش نمای کلی لایه‌برداری چندتایی.^[۵۶]

(ب)

الف) عکس تولید شده با لایه کامپوزیت؛

ب) نانو ذرات موجود در نانو کامپوزیت با میکروسکوپ الکترون روبشی آوریگا.

شکل ۷. عکس‌برداری چند مقایسه ای از نانو کامپوزیت به وسیله میکروسکوپ الکترونی روبشی آریگا.^[۵۶]



شکل ۸. بازسازی سه‌بعدی نانوکامپوزیت از عکس‌های دو بعدی تولید شده.^[۵۶]

است. در نهایت در شکل ۷ عکس‌های واقعی ثبت شده با روش پرتو یون متمرکز نشان داده شده است. سپس با استفاده از شصت عکس گرفته شده در این روش، و استفاده از نرم افزار VCAT مدلی سه‌بعدی که از به هم پیوستن عکس‌های دو بعدی تولید شده به صورت سه‌بعدی بازسازی می‌شود. (شکل ۸)

بيان شد توابع همبستگی نمایان‌گر ساختار ماده است و در این مرحله نشان داده شد که چطور می‌توان با انجام آزمایش به اطلاعات آماری مهمی دست پیدا کرد. در نهایت مروری بر بازسازی سه بعدی انجام شد که نشان می‌دهد حتی می‌توان از دو بعد فراتر رفت و بازسازی سه بعدی انجام داد.

توابع همبستگی به ساختار ماده نیز با عنوان بازسازی مطرح شد، اساساً در این مرحله اهمیت توابع همبستگی هرچه بیشتر نشان داده می‌شود، بدین صورت که می‌توان با داشتن این اطلاعات به صورت مستقیم به ساختار ماده دست پیدا کرد. سپس، راه‌های آزمایشگاهی برای به دست آوردن توابع همبستگی ارائه شد، چنانچه مفصلأ

پانوشت‌ها

1. statistical N-point correlation functions
2. two-point correlation functions
3. small angle X-ray scattering
4. transmission/scanning electron microscopy
5. weak-contrast, strong contrast
6. two point correlation function
7. Stell
8. Torquato
9. Sheehan
10. St-Pierre
11. Suzue
12. Shikaono
13. Kasagi
14. Fullwood
15. focused ion beam/scanning electron microscopy
16. X-Ray computed tomography
17. scattering electron microscopy
18. morphology
19. transmission electron microscopy
20. covariance
21. debye
22. annealing optimization approach
23. Monte Carlo
24. mean square error
25. Metropolis

منابع (References)

1. Torquato, S. Random heterogeneous materials: microstructure and macroscopic properties vol. 16: Springer Science & Business Media, pp.24-28 (2013).
2. Yves, R., Ahzi, S., Baniassadi, M. and et al., *Applied RVE Reconstruction and Homogenization of Heterogeneous Materials*: John Wiley & Sons, (2016).
3. Baniassadi, M., Addiego, F., Laachachi, A. and et al. "Using SAXS approach to estimate thermal conductivity of polystyrene/zirconia nanocomposite by exploiting strong contrast technique", *Acta Materialia*, **59**, pp. 2742-2748, (2011).
4. Baniassadi, M., Garmestani, H., Li, D. and et al. "Three-phase solid oxide fuel cell anode microstructure realization using two-point correlation functions", *Acta materialia*, **59**, pp. 30-43, (2011).
5. Hamedani, H.A., Baniassadi, M., Khaleel, M. and et al. "Microstructure, property and processing relation in gradient porous cathode of solid oxide fuel cells using statistical continuum mechanics", *Journal of Power Sources*, **196**, pp. 6325-6331, (2011).
6. Li, D., Baniassadi, M., Garmestani, H. and et al. "3D reconstruction of carbon nanotube composite microstructure using correlation functions", *Journal of Computational and Theoretical Nanoscience*, **7**, pp. 1462-1468, (2010).
7. Debye, P., Anderson Jr, H. and H. Brumberger. "Scattering by an inhomogeneous solid. II. The correlation function and its application", *Journal of applied Physics*, **28**, pp. 679-683, (1957).
8. Kroner, E., "Statistical Modelling", Modeling Small Deformation of Polycrystals, Springer, Dordrecht, pp.229-291, (1986).
9. Dopazo, C. Edward E. O. "An approach to the autoignition of a turbulent mixture", *Acta Astronautica* (1974). Beran, M. "Statistical Continuum Theories Interscience Pub", New York-London-Sydney, p. 91, (1968).
10. Phan-Thien, N. and Milton, G. "New bounds on the effective thermal conductivity of N-phase materials", in *Proceedings of the Royal Society of London A: Mathematical, Physical and Engineering Sciences*, pp. 333-348, (1982).
11. Dederichs, P.H. and Zeller, R. "Variational treatment of the elastic constants of disordered materials", *Zeitschrift für Physik*, **259**, pp. 103-116, (1973).
12. Willis, J.R. "Variational and related methods for the overall properties of composites", *Advances in applied mechanics*, **21**, pp. 1-78, (1981).
13. McCOY, J.J. "On the calculation of bulk properties of heterogeneous materials", *Quarterly of Applied Mathematics*, **37**, pp. 137-149, (1979).
14. Torquato, S. "Effective electrical conductivity of two-phase disordered composite media", *Journal of Applied Physics*, **58**, pp. 3790-3797, (1985).
15. Sen, A.K. and Torquato, S. "Effective conductivity of anisotropic two-phase composite media", *Physical Review B*, **39**, p. 4504, (1989).
16. Brown Jr, W.F. "Solid mixture permittivities", *The Journal of Chemical Physics*, **23**, pp. 1514-1517, (1955).

17. Liu, Z., Moore, J.A., Aldousari, S.M. and et al. "A statistical descriptor based volume-integral micromechanics model of heterogeneous material with arbitrary inclusion shape", *Computational Mechanics*, **55**, pp. 963-981, (2015).
18. Bochenek, B. and Pyrz, R "Reconstruction of random microstructures-a stochastic optimization problem", *Computational Materials Science*, **31**, pp. 93-112, (2004).
19. Liang, Z., Fernandes, C., Magnani, F. and et al. "A reconstruction technique for three-dimensional porous media using image analysis and Fourier transforms", *Journal of Petroleum Science and Engineering*, **21**, pp. 273-283, (1998).
20. Talukdar, M. and Torsaeter, O. "Reconstruction of chalk pore networks from 2D backscatter electron micrographs using a simulated annealing technique", *Journal of Petroleum Science and Engineering*, **33**, pp. 265-282, (2002).
21. Yeong, C. and Torquato, S. "Reconstructing random media", *Physical Review E*, **57**, p. 495, (1998).
22. Hasanabadi, A., Baniassadi, M., Abrinia, K. and et al. "3D microstructural reconstruction of heterogeneous materials from 2D cross sections: A modified phase-recovery algorithm", *Computational Materials Science*, **111**, pp. 107-115, (2016).
23. Torquato, S. "Effective stiffness tensor of composite media-I. Exact series expansions", *Journal of the Mechanics and Physics of Solids*, **45**, pp. 1421-1448, (1997).
24. Pham, D. and Torquato, S. "Strong-contrast expansions and approximations for the effective conductivity of isotropic multiphase composites", *Journal of applied physics*, **94**, pp. 6591-6602, (2003).
25. Torquato, S., *Random Heterogeneous Materials: Microstructure and Macroscopic Properties* vol. 16: Springer Science & Business Media, pp.80-101 (2002).
26. Lin, S. and Garmestani, H. "Statistical continuum mechanics analysis of an elastic two-isotropic-phase composite material", *Composites Part B: Engineering*, **31**, pp. 39-46, (2000).
27. Garmestani, H., Lin, S., Adams, B.L. and et al. "Statistical continuum theory for large plastic deformation of polycrystalline materials", *Journal of the Mechanics and Physics of Solids*, **49**, pp. 589-607, (2001).
28. Garmestani, H., Lin, S. and Adams, B.L. "Statistical continuum theory for inelastic behavior of a two-phase medium", *International Journal of Plasticity*, **14**, pp. 719-731, (1998).
29. Lin, S., Garmestani, H. and Adams, B. "The evolution of probability functions in an inelastically deforming two-phase medium", *International Journal of Solids and Structures*, **37**, pp. 423-434, (2000).
30. St-Pierre, L., Heripre, E., Dexet, J., Crepin, G. and et al. "3D simulations of microstructure and comparison with experimental microstructure coming from O.I.M analysis", *International Journal of Plasticity*, **24**, pp. 1516-1532, (2008).
31. Suzue, Y., Shikazono, N. and Kasagi, N. "Micro modeling of solid oxide fuel cell anode based on stochastic reconstruction", *Journal of Power Sources*, **184**, pp. 52-59, (2008).
32. Fullwood, D.T., Niezgoda, S.R. and Kalidindi, S.R. "Microstructure reconstructions from 2-point statistics using phase-recovery algorithms", *Acta Materialia*, **56**, pp. 942-948, (2008).
33. Principe, E.L. "How to use FIB-SEM data for 3-D reconstruction", *R& D Magazine*, **6**, pp. 29-30, (2008).
34. Jiao, Y., Stillinger, F. and Torquato, S. "Modeling heterogeneous materials via two-point correlation functions: Basic principles", *Physical Review E*, **76**, p. 031110, (2007).
35. Jiao, Y., Stillinger, F. and Torquato, S. "Modeling heterogeneous materials via two-point correlation functions. II. Algorithmic details and applications", *Physical Review E*, **77**, p. 031135, (2008).
36. Ketcham, R.A., and William D.C. "Acquisition, optimization and interpretation of X-ray computed tomographic imagery: applications to the geosciences", *Computers & Geosciences* (2001).
37. Roux, S. and et al. "Three-dimensional image correlation from X-ray computed tomography of solid foam" Composites Part A: Applied science and manufacturing (2008).
38. Todokoro, H. and Ezumi, M. "Scanning electron microscope", ed: Google Patents, U.S. Patent No. 5,872,358 (1999).
39. Hayat, M.A., *Principles and Techniques of Scanning Electron Microscopy. Biological Applications*, New York, NY: Van Nostrand Reinhold Co 1, (1974).
40. Torquato, S., *Random heterogeneous materials: microstructure and macroscopic properties*. New York: Springer Verlag, pp.150-181 (2002).
41. Jiao, S.F., Torquato, Y.S. *Phys Rev*, E 79 (2007).
42. Alexandre M, D.P. "Polymer-layered silicate nanocomposites: preparation, properties and uses of a new class of materials", *Materials Science and Engineering*, R-Reports 28:1-2. (2000).
43. Kashiwagi, H.R., Zhang, T., Briber, X. and et al. "Polymer", ed, p. 45:881, (2004).
44. Kashiwagi, F.J., Douglas JF, T., Yamamoto, K. and et.al. "Polymer", ed, p. 48:4855, (2007).
45. Edraki, M. and Banimahd Keivani, M. "Study on the Optical and Rheological properties of polymer-layered Silicate Nanocomposites", *Journal of Physical & Theoretical Chemistry*, **10**, pp. 69-79, (2013).
46. Bandyopadhyay, J. and Ray, S.S. "The quantitative analysis of nano-clay dispersion in polymer nanocomposites by small angle X-ray scattering combined with electron microscopy", *Polymer*, **51**, pp. 1437-1449, (2010).
47. Guimer, A. and Fournet, G. and Walker, C.B. *Small angle scattering of X-rays*, J. Wiley & Sons, New York, pp. 268, (1955).
48. Debye P, A.H., *Appl Phys* p. 28:4, (1997).
49. Debye, P., Anderson, H.R., Jr. and Brumberger, H. "J. Appl. Phys", **28**, p. 679 (1957).

50. Frisch, H. and Stillinger, F.H. "Contribution to the statistical geometric basis of radiation scattering", *The Journal of Chemical Physics*, **38**(9), pp. 2200-2207, (1963).
51. Cullity, D.B., Stuart, S.R."Elements of X-ray diffraction", Pearson Education (2014).
52. Brumberger, H. "Modern aspects of small-angle scattering", : *Springer Science & Business Media*, **451**, p.463 (2013).
53. Feigin, L.A., Svergun, D.I., and Taylor, G.W., *Determination of the Integral Parameters of Particles*, in Structure Analysis by Small-Angle X-ray and Neutron Scattering, ed: Springer, Boston, MA, pp.59-105 (1987), pp. 59-105.
54. Glatter, O. and Kratky, O. Small angle X-ray scattering: Academic press, (1982).
55. Jiao, Y., Stillinger, F. and Torquato, S. "Optimal packings of superdisks and the role of symmetry", *Physical review letters*, **100**, p. 245504, (2008).
56. Sheidaei, A., Baniassadi, M., Banu, M. and et al. 3-D microstructure reconstruction of polymer nano-composite using FIB-SEM and statistical correlation function", *Composites Science and Technology*, **80**, pp. 47-54, (2013).